

UNIVERSIDAD DE INGENIERÍA Y TECNOLOGÍA

CARRERA DE CIENCIA DE LA COMPUTACIÓN



**Diseño de dispositivos nanofotónicos resilientes a errores
de fabricación usando algoritmos de optimización**

TESIS

Para optar el título profesional de Licenciado en Ciencia de la
Computación

AUTOR:

José Leonidas García Gonzales

ASESOR

Jorge Luis Gonzalez Reaño

Lima - Perú

17 de junio de 2022

Índice general

	Pág.
CAPÍTULO 1 Marco Teórico	1
1.1 Dispositivos de estudio	1
1.1.1 <i>Bend</i>	1
1.1.2 <i>Wavelength Demultiplexer</i> (WDM)	3
1.2 Parametrización	5
1.3 Simulación	7
1.4 Estrategia de optimización	9
1.5 Algoritmos de Optimización	10
1.5.1 <i>Genetic Algorithms</i> (GA)	11
1.5.2 <i>Gradient Genetic Algorithms</i> (G-GA)	12
1.5.3 <i>Particle Swarm Optimization</i> (PSO)	12
1.5.4 <i>Gradient Particle Swarm Optimization</i> (G-PSO)	13
1.5.5 <i>Covariance Matrix Adapataion Evolution Strategy</i> (CMA-ES)	13
1.5.6 <i>Gradient Covariance Matrix Adapataion Evolution Strategy</i> (G-CMA-ES) .	16
1.5.7 L-BFGS-B	16
1.5.8 MMA	16
1.6 Transformaciones	16

Índice de tablas

Índice de figuras

1.1	Representación de $ \mathbf{E} ^2$ de un <i>bend</i> de $1\mu m$ de radio obtenido usando 3D FDFD bajo una resolución de $30nm$	2
1.2	Representación de $ \mathbf{E} ^2$ de un WDM obtenido usando 3D FDFD bajo una resolución de $30nm$	4
1.3	Parametrización basada en píxeles para un <i>bend</i> definiendo \mathbf{P} como una matriz de 18×18	6
1.4	Configuración de simulación para una guía de onda.	8
1.5	Función de discretización con $\eta = 0.5$ y distintos valores de β	17

Capítulo 1

Marco Teórico

En el presente capítulo se introducen conceptos fundamentales relacionados al diseño inverso de dispositivos fotónicos. Para ello se desarrolla seis secciones. Primero, se describen las propiedades físicas de interés de un *bend* y WDM. Segundo, se explica como parametrizar la región de diseño de estos dispositivos. Tercero, se detalla los pasos necesarios para poder simular computacionalmente los diseños realizados. Cuarto, se explica la estrategia de optimización a seguir con la parametrización señalada. Quinto, se describen tres algoritmos que se usaran en el presente trabajo: (i) algoritmos genéticos (GA), (ii) *particle swarm optimization* (CMA), (iii) *covariance matrix adaptation evolution strategy* (CMA-ES). Finalmente, se expone que transformaciones se puede aplicar dentro de la estrategia a seguir.

TODO: Actualizar esto al final.

1.1 Dispositivos de estudio

1.1.1 *Bend*

Un *bend* es un dispositivo fotónico que se encarga de guiar el giro de un haz de ondas.

En general, al estudiar dispositivos fotónicos es de especial interés la distribución del campo eléctrico (E). Este nos permite visualizar la distribución de la energía en un dispositivo calculando lo siguiente:

$$|\mathbf{E}|^2 = |\mathbf{E}_x|^2 + |\mathbf{E}_y|^2 + |\mathbf{E}_z|^2, \quad (1.1)$$

donde $\mathbf{E}_x, \mathbf{E}_y, \mathbf{E}_z$ representan las componentes del campo eléctrico en los ejes x, y, z , respectivamente (Lukas Chrostowski, 2010).

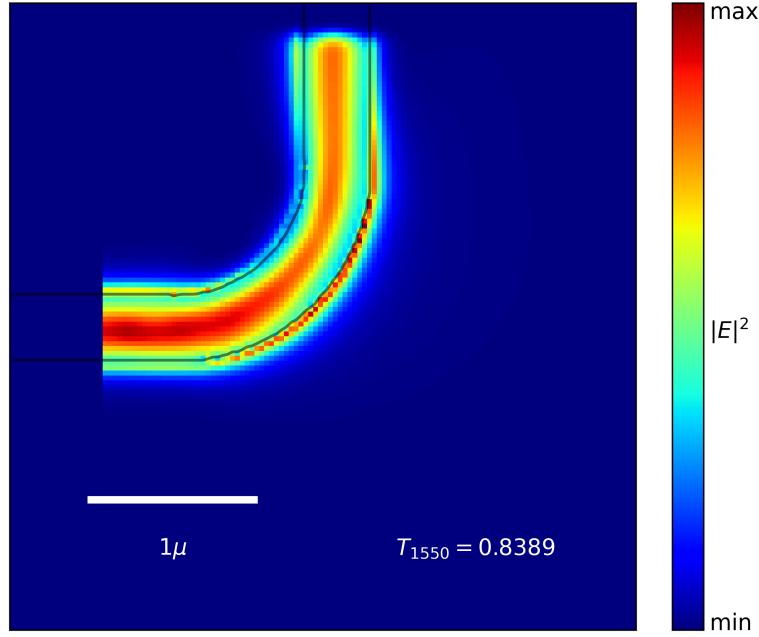


FIGURA 1.1: Representación de $|\mathbf{E}|^2$ de un *bend* de $1\mu m$ de radio obtenido usando 3D FDTD bajo una resolución de $30nm$.

Tradicionalmente, un *bend* consiste en una guía de onda horizontal usada como entrada y una guía de onda vertical usada como salida, estas son conectadas por una guía de onda con la forma de un cuarto de circunferencia de radio r y con el mismo grosor de las guías de onda de entrada y salida. En la Figura 1.1 se muestra un *bend* tradicional de radio $r = 1\mu m$. Como se observa en la imagen, parte significativa de la energía se pierde en la región curva. Esto se debe a que el radio de curvatura es muy pequeño, con un valor más grande (e.g. $r = 10\mu m$) las pérdidas se vuelven casi nulas (Lukas Chrostowski, 2010).

Para evitar ambigüedades, dos puntos adicionales a remarcar son: (i) cuando nos referimos al radio estamos haciendo mención al radio medio de curvatura y (ii) todos los diseños mostrados en este trabajo tienen una profundidad de 220nm.

Observar en una gráfica el valor de $|\mathbf{E}|^2$ nos ayuda a entender el funcionamiento de un dispositivo. Por otro lado, una manera de cuantificar que tan bien funciona un diseño es mediante el cálculo de la transmitancia (T). Este valor se define como la relación entre la potencia del flujo que sale del dispositivo con la potencia del flujo que ingresa (Christiansen y Sigmund, 2021).

Seguidamente, sea λ la longitud de onda de la entrada y \mathbf{P} los parámetros que caracterizan al diseño, denotaremos como $T_\lambda(\mathbf{P})$ a la transmitancia asociada al dispositivo obtenido con la parametrización \mathbf{P} en la longitud de onda λ . Luego, definimos la función objetivo (f_{obj}) para un *bend*, también conocido en el área como figura de mérito (FOM), mediante la siguiente ecuación (Su et al., 2020):

$$f_{obj}(\mathbf{P}) = \max \{T_{1550}(\mathbf{P})\}. \quad (1.2)$$

En síntesis, la idea detrás de estas definiciones es describir un *bend* mediante una parametrización \mathbf{P} (Sección 1.2). Luego, usando algoritmos de optimización, buscar entre las distintas combinaciones de los parámetros aquella configuración que optimice la función f_{obj} (Sección 1.5). De este modo, estaremos encontrando un diseño con una elevada transmitancia, es decir con un buen desempeño.

1.1.2 Wavelength Demultiplexer (WDM)

Un WDM es un dispositivo fotónico que se encarga de guiar un haz de ondas de acuerdo a su longitud de onda. Por ejemplo, estos pueden trabajar con dos longitudes de

onda y guían las de una longitud por la guía de onda superior y las de otra longitud por la guía de onda inferior.

Análogo al caso del *bend*, utilizaremos la transmitancia para cuantificar el desempeño del dispositivo. Pero, en el presente trabajo usaremos un WDM con dos guías de salida, por ello, utilizaremos como notación $T_{\lambda}^{(1)}(\mathbf{P})$ para representar la transmitancia en la guía de salida superior cuando se recibe un haz de longitud de onda λ en un diseño descrito por los parámetros \mathbf{P} y $T_{\lambda}^{(2)}(\mathbf{P})$ para la guía de salida inferior.

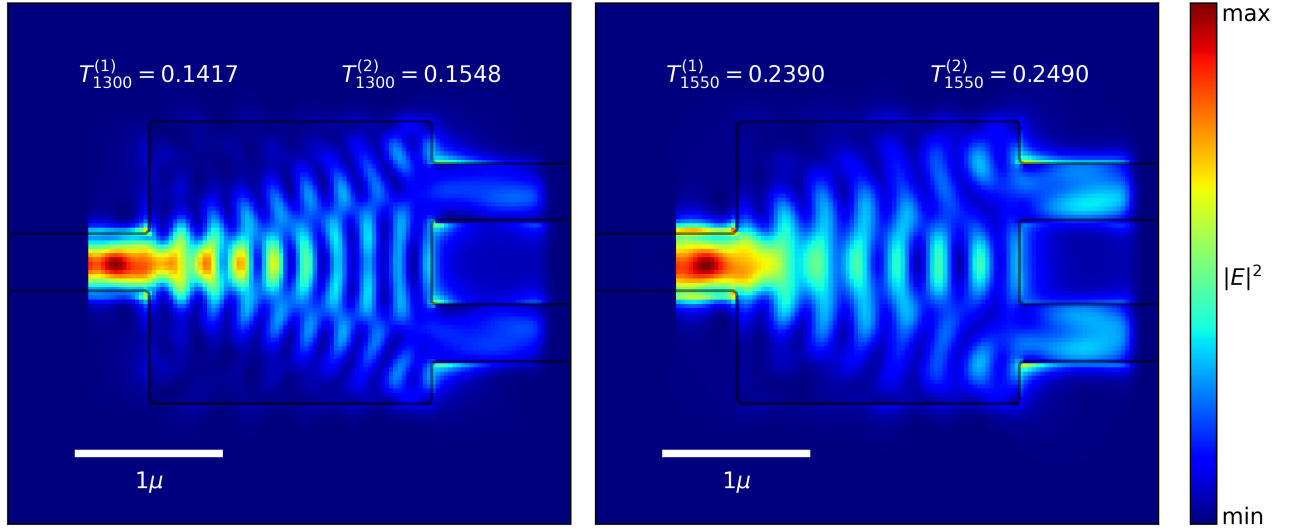


FIGURA 1.2: Representación de $|E|^2$ de un WDM obtenido usando 3D FDFD bajo una resolución de $30nm$.

En la Figura 1.2 se muestra un WDM donde las guías de onda son unidas por una región rectangular de $2.0\mu m \times 2.0\mu m$. En el lado izquierdo se muestra la representación de $|E|^2$ cuando se usa como entrada un haz de ondas de $1300nm$ de longitud, en el lado derecho la entrada es de $1550nm$. En ambos casos el diseño está funcionando más como un *splitter* que como un WDM. Un *splitter* es un dispositivo fotónico que divide la potencia del flujo de la entrada por las guías de salida en una determinada proporción. El diseño intuitivo para este dispositivo es el presentado en la imagen. Similar al caso del *bend*, con unas dimensiones un poco más grandes se puede conseguir pérdidas casi nulas

de energía (Lukas Chrostowski, 2010). Sin embargo, como se observa en los valores de la transmitancia, este diseño intuitivo no es apropiado para un WDM.

Basándonos en Su *et al.* (2020), definimos su FOM como

$$f_{obj}(\mathbf{P}) = \max \left\{ \frac{\left(T_{1300}^{(1)}(\mathbf{P})\right)^2 + \left(1 - T_{1300}^{(2)}(\mathbf{P})\right)^2 + \left(1 - T_{1550}^{(1)}(\mathbf{P})\right)^2 + \left(T_{1550}^{(2)}(\mathbf{P})\right)^2}{4} \right\}. \quad (1.3)$$

La Ecuación 1.3 busca maximizar la transmitancia por la guía de onda superior y minimizarla para la guía de onda inferior cuando se recibe una longitud de onda de $1300nm$ y lo contrario para una longitud de onda de $1550nm$. Cabe destacar que la división por cuatro se realiza para asegurar que f_{obj} solamente tenga valores en el intervalo $[0, 1]$, al igual que sucede con la función objetivo del *bend*.

La idea para optimizar un WDM es la misma descrita en la anterior sección. En el resto del capítulo se describe en más detalle los siguientes pasos necesarios para lograr esto.

1.2 Parametrización

Tanto para el *bend* como para el WDM se define una región de diseño mediante una parametrización (\mathbf{P}) que pueda mapear un gran conjunto de dispositivos. Una de las estrategias más populares para esta tarea es usar parametrización basada en píxeles, esta consiste en definir \mathbf{P} como una matriz con valores en el intervalo $[0, 1]$ (Molesky *et al.*, 2018).

Por ejemplo, en la Figura 1.3 se ha definido la matriz $\mathbf{P} : [1, n] \times [1, m] \rightarrow [0, 1]$ con $n = m = 18$ y se ha graficado sus valores usando escala gris (0 corresponde al color

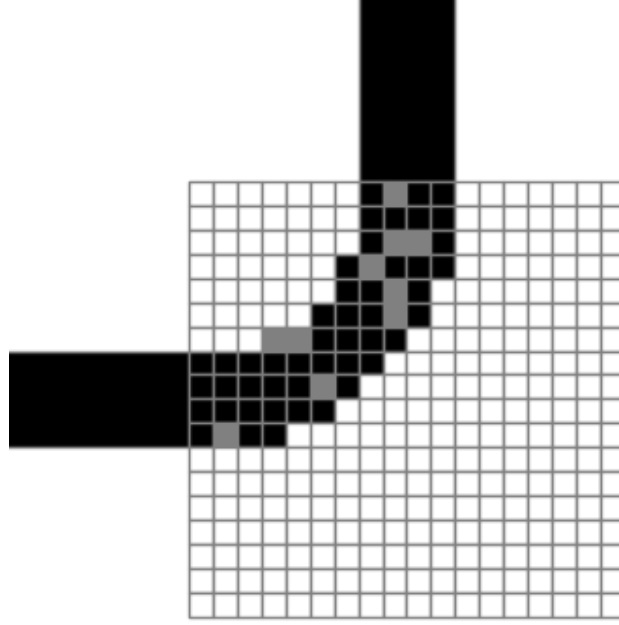


FIGURA 1.3: Parametrización basada en píxeles para un *bend* definiendo \mathbf{P} como una matriz de 18×18 .

blanco, 1 al negro y los demás valores a diferentes intensidades del gris). De esta manera observamos como \mathbf{P} logra definir la geometría de un diseño. Adicionalmente, conforme se incrementa el valor de n, m se logra definir detalles con mayor precisión.

Sin embargo, lo anterior solo nos permite describir la geometría de los diseños, no sus propiedades. Además, no queda claro que representan las regiones grises. Por ello, para describir las propiedades del diseño es necesario asociar a \mathbf{P} alguna propiedad física. Esto lo realizamos calculando la permitividad (ϵ) mediante la siguiente ecuación:

$$\epsilon(x, y) = \epsilon_{Si} + (1 - \mathbf{P}(x, y))\epsilon_{SiO_2} \mid x \in [1, n] \wedge y \in [1, m], \quad (1.4)$$

donde $\epsilon_{Si} = 3.48$ es la permitividad del silicio (Si) y $\epsilon_{SiO_2} = 1.44$ es la permitividad del óxido de silicio (SiO_2). De esta manera, la celda ubicada en la fila x , columna y de la geometría descrita por $\mathbf{P}(x, y)$ tiene una permitividad de valor $\epsilon(x, y)$.

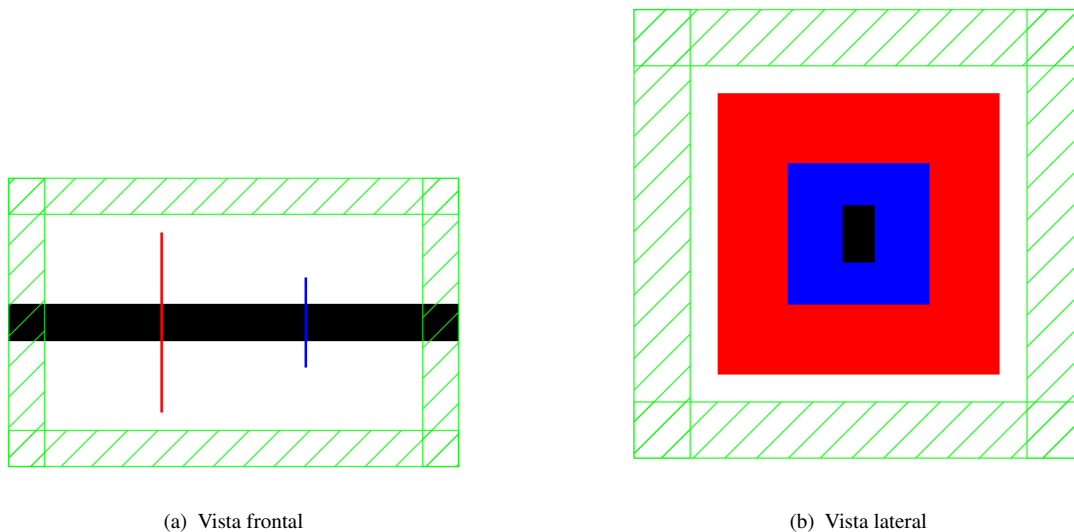
Con la Ecuación 1.4 estamos asociando a cada rectángulo de la geometría descrita por \mathbf{P} un valor de permitividad en el rango $[\varepsilon_{SiO_2} = 1.44, 3.48 = \varepsilon_{Si}]$. De esta manera, $\mathbf{P}(x, y) = 1$ describe que el rectángulo ubicado en la posición (x, y) es de silicio, un valor de $\mathbf{P}(x, y) = 0$ describe la presencia de óxido de silicio y $0 < \mathbf{P}(x, y) < 1$ hace referencia a algún material cuya permitividad es $\varepsilon(x, y)$.

No obstante, un inconveniente de lo descrito es que \mathbf{P} puede mapear a materiales inexistentes (regiones grises), en la Sección 1.4 se estudia en más detalle esta dificultad. Por otro lado, con la descripción de la permitividad ya podemos calcular los campos eléctricos con lo cual se puede obtener el valor de f_{obj} definido para el *bend* y WDM. Por esta razón se realizan simulaciones electromagnéticas y se resuelven las inversas de las ecuaciones de Maxwell, esto permite obtener los campos eléctricos (Su *et al.*, 2020). Afortunadamente, para este proceso se puede utilizar distintos programas que implementan diversos métodos numéricos para realizar los cálculos (Sección 1.3).

1.3 Simulación

Una vez tenemos definido un dispositivo con regiones fijas (guías de onda) y una región de diseño (descrita por la parametrización), es necesario incorporar tres elementos adicionales (Oskooi *et al.*, 2010, Su *et al.*, 2020):

1. **Fuente:** Suele representarse como un rectángulo en un plano perpendicular al flujo que pasa por el lugar donde este se ubica. Simula la emisión de un haz de ondas por el diseño.
2. **Monitores:** Suelen representarse como un rectángulo similar a la fuente. Capturan información en su ubicación (e.g. valores del campo eléctrico).
3. **PML:** Representan las condiciones de frontera en la simulación. Se utilizan para limitar el espacio donde se deberá realizar las simulaciones computacionales.



(a) Vista frontal

(b) Vista lateral

FIGURA 1.4: Configuración de simulación para una guía de onda.

En la Figura 1.4 se ilustra una guía de onda con los elementos mencionados. El rectángulo de color negro representa la guía de onda, la región roja la fuente, la región azul el monitor y lo verde el PML. Guiándonos de la figura de la izquierda, al realizar una simulación con esta configuración el flujo iría de la región roja a la región azul. Sin embargo, este seguiría expandiéndose por la guía de onda hasta llegar a la región verde (PML). En palabras sencillas, podemos interpretar el PML como una caja que permite aislar nuestro sistema. Por otro lado, la figura de la derecha representa el mismo diseño pero desde una vista lateral (recordemos que son diseños en 3D). Aquí podemos evidenciar como la fuente y el monitor son representados por rectángulos, no por rectas.

Siguiendo lo descrito, podemos utilizar diversos programas para configurar y ejecutar simulaciones de un *bend* y WDM. Una alternativa es usar SPINS-B junto a Maxwell-B, paquetes de Python de código abierto. Estos funcionan bajo una arquitectura cliente-servidor donde SPINS-B es el cliente y Maxwell-B el servidor.

Por un lado, SPINS-B permite configurar diseños (fuente, monitores, PML, parametrización, región de diseño, etc) y solicitar al servidor que obtenga sus propiedades.

Un aspecto interesante de este paquete es que trabaja con bloques llamados nodos. Estos representan operaciones fundamentales como suma, resta, multiplicación, etc. Luego, el programa guarda nuestra función objetivo usando un grafo que tiene estos nodos de vértices. Lo interesante de este enfoque es que permite calcular de forma eficiente (independientemente de las dimensiones de \mathbf{P}) el valor de $\nabla f_{obj}(\mathbf{P})$ mediante diferenciación automática (Su *et al.*, 2020).

Por otro lado, Maxwell-B implementa un método numérico conocido como *finite-difference frequency domain* (FDFD) para resolver numéricamente las ecuaciones de Maxwell y obtener así determinadas propiedades de los diseños que recibe. Es importante destacar que la implementación de esta librería es en GPUs de NVIDIA y permite aprovechar múltiples GPUs a la vez.

Un último detalle a señalar es que para las simulaciones debemos definir su resolución, esto lo representamos con el parámetro dx . Su valor se utiliza para discretizar nuestro espacio de simulación en una malla de cubos de dimensiones $dx \times dx \times dx$. En general, cuanto más pequeño es este valor los resultados son más precisos, pero la cantidad de memoria y el tiempo de simulación se incrementan considerablemente.

1.4 Estrategia de optimización

Como fue descrito en la Sección 1.2, podemos representar diseños con materiales que no existen. Para evitar esto se necesita obtener que $\mathbf{P}(x, y)$ de la Ecuación 1.4 tenga valores enteros. Sin embargo, al optimizar la función f_{obj} no podemos asegurar esta condición. Ante esta dificultad, Su *et al.* (2020) trabaja en dos etapas:

1. Optimización continua

En esta etapa se optimiza la función f_{obj} sin imponer ninguna restricción. En la Sección 1.5 se detalla algoritmos que suelen usarse para este fin.

2. Optimización discreta

Se utiliza el resultado de la optimización continua como punto inicial para el algoritmo de optimización que se escoja. Luego, se trabaja por iteraciones. En cada iteración se aplica una transformación a cada diseño antes de evaluar su FOM. Esta transformación se escoge de tal manera que ayude a ir convergiendo a un diseño fabricable, es decir, a tener $P(x, y) = 0$ o $P(x, y) = 1$, más detalles en la Sección 1.6. Así, la idea de realizarlo por iteraciones es ir discretizando nuestro diseño de forma suave e intentando mantener un buen valor del FOM. Por ello, es crucial utilizar el resultado de una iteración como punto inicial de la próxima.

1.5 Algoritmos de Optimización

Como observamos en la anterior sección, necesitamos optimizar la función f_{obj} . Es decir, sea \mathcal{P} el conjunto de todas las matrices $P : [1, n] \times [1, m] \rightarrow [0, 1]$, queremos encontrar algún $P^* \in \mathcal{P}$ tal que $f_{obj}(P) \leq f_{obj}(P^*)$, $\forall P \in \mathcal{P}$. Dicho de otra manera, nuestro problema es encontrar P^* , elemento conocido como el óptimo global; sin embargo, en general es difícil encontrarlo.

Un problema más viable es encontrar $\sigma > 0 \wedge P^+ \in \mathcal{P}$ tal que $f_{obj}(P) \leq f_{obj}(P^+)$, $\forall P \in \mathcal{P} : \|P - P^+\| < \delta$. Es decir, es más práctico encontrar P^+ (conocido como óptimo local) el cual es un elemento que es un óptimo global si restringimos el espacio de búsqueda a una región alrededor de este elemento.

En el presente capítulo se describen algunos algoritmos para optimizar f_{obj} . Ninguno de estos puede asegurar encontrar el óptimo global, sin embargo sus estrategias de búsqueda suelen permitir encontrar óptimos locales adecuados para nuestros propósitos. Sin pérdida de generalidad, la descripción de estos algoritmos se desarrollará para minimizar una función. Esto es posible ya que minimizar una función es equivalente a maximizar su negativo (Kochenderfer y Wheeler, 2019).

1.5.1 Genetic Algorithms (GA)

Como se describe en el Algoritmo 1 (Kochenderfer y Wheeler, 2019), la idea es comenzar generando una población (*population*) de tamaño *population_size*. Esta población es un conjunto de matrices de $n \times m$ generadas a partir de una parametrización inicial P , línea 1. Los siguientes tres pasos se ejecutan por k iteraciones. Primero, se realiza un proceso de selección para obtener las mejores parametrizaciones (*parents*), línea 3. Segundo, los seleccionados se encargan de producir la nueva generación (*children*), línea 4. Tercero, la nueva generación muta obteniendo nuevas características, línea 5.

Algorithm 1: Estructura de un algoritmo genético

```

1 population = generate_population( $P$ , population_size, GA_range)
2 for  $t = 0$ ;  $t < k$ ;  $t++$  do
3   parents = select(population, n_selected_parents)
4   children = crossover(parents)
5   population = mutation(children, prob_mutation, GA_range)

```

Entrando en más detalle, tenemos:

- *generate_population*(P , *population_size*, *GA_range*) : retorna *population_size* matrices P' tal que $|P'(x, y) - P(x, y)| \in U(-GA_range, GA_range)$, $\forall x \in [1, n] \wedge y \in [1, m]$.
- *select*(*population*, *n_selected_parents*) : retorna *number_selected_parents* elementos de *population* de acuerdo a la probabilidad $prob_i$ dada por la ecuación

$$prob_i = \frac{f_{obj}^{(i)} - \min(f_{obj})}{\sum_j (f_{obj}^{(j)} - \min(f_{obj}))}, \quad (1.5)$$

donde $f_{obj}^{(i)}$ representa el valor de f_{obj} aplicado a la i -ésima parametrización de *population* y $\min(f_{obj})$ es el mínimo valor de f_{obj} al haber sido aplicado a todas las matrices de *population*.

- *crossover(parents)* : retorna *population_size* nuevas parametrizaciones. Cada nueva matriz S es la combinación de dos parametrizaciones aleatorias P_1 y P_2 seleccionados de *parents*. En esta combinación, para cada $x \in [1, n] \wedge y \in [1, m]$ se define con igual probabilidad que $S(x, y) = P_1(x, y)$ o $S(x, y) = P_2(x, y)$.
- *mutation(children, prob_mutation, GA_range)* : retorna *children*, pero a cada elemento de todas estas matrices le agrega un valor en $U(-GA_range, GA_range)$ con probabilidad *prob_mutation*.

1.5.2 Gradient Genetic Algorithms (G-GA)

TODO: Completar esto

1.5.3 Particle Swarm Optimization (PSO)

TODO: Actualizar nomenclatura.

Podemos pensar este algoritmo como un caso especial del Algoritmo 1 (Kochenderfer y Wheeler, 2019, Prosopio-Galarza *et al.*, 2019). La idea es visualizar el i -ésimo individuo como una partícula definida por: (i) su posición $x^{(i)}$ (el vector p -dimensional asociado al i -ésimo individuo), (ii) su velocidad $v^{(i)}$ (un número real) y (iii) la mejor posición encontrada hasta el momento.

Cada partícula acumula velocidad en una dirección favorable dada por: (i) la mejor posición encontrada hasta el momento por ella y (ii) la mejor posición encontrada por la población completa. Como consecuencia, los individuos se pueden mover independientemente de perturbaciones locales. Adicionalmente, agregando caminos aleatorios las partículas incorporan comportamientos impredecibles que puede permitirles encontrar potenciales mejores direcciones.

Entrando en más detalle, siguiendo la estructura del Algoritmo 1, tenemos:

- *generate_population*(n, p) : retorna n partículas con cada uno de sus parámetros tomando valores aleatorios en $U(0, 1)$.
- *select*(*population*) : retorna la partícula con el mejor f_{obj}
- *crossover*(*population, parents*) : retorna la población luego de aplicar

$$x^{(i)} \leftarrow x^{(i)} + \nu^{(i)}, \quad (1.6)$$

$$\nu^{(i)} \leftarrow \omega \nu^{(i)} + c_1 r_1 (x_b^{(i)} - x^{(i)}) + c_2 r_2 (x_b - x^{(i)}), \quad (1.7)$$

donde x_b es la mejor posición encontrada globalmente, ω representa la tendencia de la partícula de conservar su velocidad actual, c_1 y c_2 cuantifica la atracción relativa de $x_b^{(i)}$ y x_b respectivamente, y $r_1, r_2 \in U(0, 1)$ representan el comportamiento impredecible.

1.5.4 Gradient Particle Swarm Optimization (G-PSO)

TODO: Completar esto

1.5.5 Covariance Matrix Adaptation Evolution Strategy (CMA-ES)

TODO: Actualizar nomenclatura.

La idea general de esta estrategia evolutiva, mostrada en el Algoritmo 2, es mantener: (i) un vector μ p -dimensional, (ii) una matriz Σ y (iii) un número σ para ir generando n individuos p -dimensionales a partir una distribución $\mathcal{N}(\mu, \sigma^2 \Sigma)$.

Tomar puntos de esta distribución limita el espacio de búsqueda a una hiperelipse. Luego, el algoritmo evalúa puntos en esta región limitada. Usando los valores obtenidos,

se puede decidir entre: (i) mover la hiperelipse a otra región del espacio de búsqueda (ii) expandir or reducir la región cubierta por la distribución. El algoritmo de CMA-ES trabaja iterativamente sobre esta idea hasta que la hiperelipse termina casi degenerándose en un punto, potencialmente un óptimo. Para una descripción más detallada del algoritmo, revisar ([Hansen, 2016](#), [Kochenderfer y Wheeler, 2019](#)).

Algorithm 2: CMA-ES

```

1 for  $t = 0; t < k; t++$  do
2   sample() // Obtener  $n$  puntos de  $\mathcal{N}(\mu, \sigma^2 \Sigma)$ 
3   update() // Ecuación 1.8
4   control() // Ecuación 1.9
5   adapt() // Ecuación 1.11

```

Entrando en más detalle del Algoritmo 2 y considerando variables globales por simplicidad, podemos resumir el procedimiento en cinco pasos. En la línea 1 simplemente se repite las siguientes líneas por k iteraciones. En la iteración t , comenzamos con la línea 2 generando n puntos p -dimensionales x_i de la distribución $\mathcal{N}(\mu, \sigma^2 \Sigma)$, donde estos son ordenados descendentemente de acuerdo al valor de f_{obj} . En la línea 3 actualizamos la media μ usando una promedio ponderado dado por

$$\mu^{(t+1)} \leftarrow \sum_{i=1}^n w_i x_i, \quad (1.8)$$

,

donde w_i son fijos y escogidos de tal manera que proporcionen mayor contribución a los puntos con mejor f_{obj} . Esto permite mover la media μ en una dirección favorable.

Seguidamente, se necesita actualizar σ para expandir o reducir la hiperelipse en la siguiente iteración. Por este motivo, la línea 4 controla este valor mediante las ecuaciones

$$\sigma^{(t+1)} \leftarrow \sigma^{(t)} \exp \left(\frac{c_\sigma}{d_\sigma} \underbrace{\left(\frac{\|p_\sigma\|}{\mathbb{E}\|\mathcal{N}(0, \mathbf{I})\|} - 1 \right)}_{\text{evolution path comparison}} \right), \quad (1.9)$$

$$\mathbb{E}\|\mathcal{N}(0, \mathbf{I})\| = \sqrt{2} \left(\frac{\Gamma\left(\frac{p+1}{2}\right)}{\Gamma\left(\frac{p}{2}\right)} \right), \quad (1.10)$$

donde p_σ es una variable que acumula los pasos llevados, $c_\sigma \in [0, 1]$ es una variable que determina el tiempo acumulado para p_σ y $d_\sigma \approx 1$ es un parámetro que determina el ratio de posibilidad de cambio de $\sigma^{(t+1)}$. La principal parte de la Ecuación 1.9 es el término *evolution path comparison*, aquí se compara el tamaño de p_σ con su tamaño esperado bajo selección aleatoria. De esta comparación podemos controlar si el valor de σ debe incrementarse, disminuirse o permanecer igual.

Finalmente, en la línea 5 cambiamos Σ a una dirección favorable usando

$$\begin{aligned} \Sigma^{(t+1)} \leftarrow & \overbrace{\left(1 - c_1 c_c (1 - h_\sigma) (2 - c_c) - c_1 - c_\mu \right)}^{\text{cumulative update}} \Sigma^{(t)} \\ & + \underbrace{c_1 p_\Sigma p_\Sigma^T}_{\text{rank-one update}} + c_\mu \underbrace{\sum_{i=1}^n w'_i \delta^{(i)} (\delta^{(i)})^T}_{\text{rank-}\mu \text{ update}}, \quad (1.11) \end{aligned}$$

donde $c_\mu \leq 1$ es el radio de aprendizaje para el término *rank- μ update*, $c_1 \leq 1 - c_\mu$ es el radio de aprendizaje para el término *rank-one update*, $c_c \in [0, 1]$ es el radio de aprendizaje para el término *cumulative update*, h_σ es la evaluación bajo la función unitaria usado para actualizar apropiadamente el camino evolutivo, p_Σ es un vector acumulativo usado para actualizar la matriz de covarianza, w'_i son los coeficientes de ponderación modificados y $\delta^{(i)}$ son las desviaciones seleccionadas.

En la Ecuación 1.11, el primer término (*cumulative update*) mantiene información de la anterior matriz de covarianza. El segundo término (*rank-one update*) permite expandir la distribución en una dirección favorable. El tercer término (*rank- μ update*) incrementa la búsqueda en espacios donde es probable encontrar buenas soluciones. La combinación de estos tres términos actualiza Σ de tal manera que mueva la hiperelipse en una dirección favorable.

1.5.6 *Gradient Covariance Matrix Adaptation Evolution Strategy* (G-CMA-ES)

TODO: Completar esto

1.5.7 L-BFGS-B

TODO: Completar esto

1.5.8 MMA

TODO: Completar esto

1.6 Transformaciones

La aplicación de transformaciones a un diseño se realiza con el fin de obtener dispositivos que se puedan fabricar con mayor facilidad (Su *et al.*, 2020).

Basándonos en Zhang *et al.* (2021), una manera de asegurar que los parámetros p describan un diseño más fácil de fabricar es aplicando la función $s(p)$ descrita como

$$\tilde{\tilde{P}}(x, y) = \frac{\tanh(\beta \times \eta) + \tanh(\beta \times (p_{x,y} - \eta))}{\tanh(\beta \times \eta) + \tanh(\beta \times (1 - \eta))}, \quad (1.12)$$

donde $\eta = 0.5$ y β comienza con un valor de 1 y va incrementándose exponencialmente en cada iteración. Como se observa en la Figura 1.5, la Ecuación 1.12 se encarga de ir haciendo converger los valores de la parametrización a 0 o 1 de acuerdo a cual esté más cercano. Conforme aumenta el valor de β esta convergencia es más rápida.

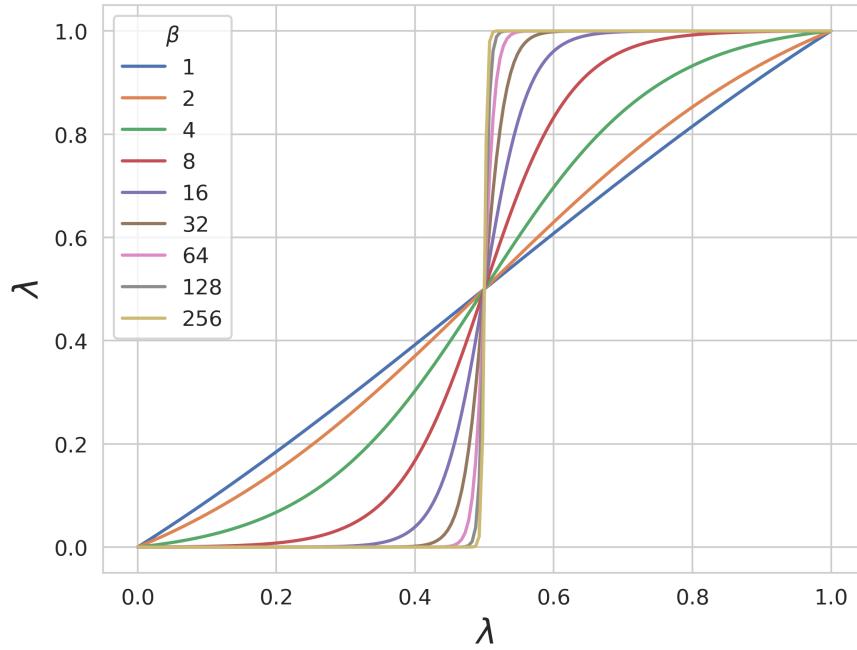


FIGURA 1.5: Función de discretización con $\eta = 0.5$ y distintos valores de β .

TODO: Agregar una descripción detallada sobre las siguientes ecuaciones.

$$\tilde{P}(x, y) = \frac{\sum_{(x', y') \in B_{r_f}(x, y)} w_{x, y}(x', y') A(x', y') p_{x', y'}}{\sum_{(x', y') \in B_{r_f}(x, y)} w_{x, y}(x', y') A(x', y')}, \quad (1.13)$$

$$w_{x, y}(x', y') = \max(0, r_f - \text{dis}(x, y, x', y')) \quad (1.14)$$

$$dis(x, y, x', y') = |x - x'| * psize_y + |y - y'| * psize_x \quad (1.15)$$

$$\frac{\partial \tilde{\mathbf{P}}(x, y)}{\partial \mathbf{P}(x^*, y^*)} = \frac{w_{x,y}(x^*, y^*) A(x^*, y^*)}{\sum_{(x', y') \in B_{r_f}(x, y)} w_{x,y}(x', y') A(x', y')}, \quad (1.16)$$

$$\frac{\partial \tilde{\mathbf{P}}(x, y)}{\partial \tilde{\mathbf{P}}(x, y)} = \frac{(1 - \tanh^2(\beta \times (\tilde{p}_{x,y} - \eta))\beta)}{\tanh(\beta \times \eta) + \tanh(\beta \times (1 - \eta))}, \quad (1.17)$$

$$\frac{\partial f_{obj}}{\partial \mathbf{P}(x, y)} = \sum_{(x', y') \in B_{r_f}(x, y)} \frac{\partial f_{obj}}{\partial \tilde{\mathbf{P}}(x', y')} \frac{\partial \tilde{\mathbf{P}}(x', y')}{\partial \tilde{\mathbf{P}}(x', y')} \frac{\partial \tilde{\mathbf{P}}(x', y')}{\partial \mathbf{P}(x, y)} \quad (1.18)$$

REFERENCIAS BIBLIOGRÁFICAS

- Christiansen, R. E. and Sigmund, O. (2021). Inverse design in photonics by topology optimization: tutorial. *J. Opt. Soc. Am. B*, 38(2):496–509.
- Hansen, N. (2016). The CMA Evolution Strategy: A Tutorial.
- Kochenderfer, M. J. and Wheeler, T. A. (2019). *Algorithms for Optimization*. The MIT Press.
- Lukas Chrostowski (2010). *Silicon Photonics Design: From Device to System*.
- Molesky, S., Lin, Z., Piggott, A. Y., Jin, W., Vucković, J., and Rodriguez, A. W. (2018). Inverse design in nanophotonics. *Nature Photonics*, 12(11):659–670.
- Oskooi, A. F., Roundy, D., Ibanescu, M., Bermel, P., Joannopoulos, J. D., and Johnson, S. G. (2010). Meep: A flexible free-software package for electromagnetic simulations by the FDTD method. *Computer Physics Communications*, 181(3):687–702.
- Prosopio-Galarza, R., De La Cruz-Coronado, J., Hernandez-Figueroa, H. E., and Rubio-Noriega, R. (2019). Comparison between optimization techniques for Y-junction devices in SOI substrates. *Proceedings of the 2019 IEEE 26th International Conference on Electronics, Electrical Engineering and Computing, INTERCON 2019*, pages 1–4.
- Su, L., Vercruysse, D., Skarda, J., Sapra, N. V., Petykiewicz, J. A., and Vučković, J. (2020). Nanophotonic inverse design with SPINS: Software architecture and practical considerations. *Applied Physics Reviews*, 7(1).

Zhang, J., Bi, S., and Zhang, G. (2021). A directional Gaussian smoothing optimization method for computational inverse design in nanophotonics. *Materials and Design*, 197:109213.